

数字图像处理

(Digital Image Processing)

核心知识点精炼笔记 8-9

东南大学计算机科学与工程学院
09023419 严伟琛

授课教师：薛澄
参考教材：拉斐尔·冈萨雷斯 (Rafael C. Gonzalez) 第四版
2026 年 1 月 15 日

目录

8 图像压缩 (Image Compression)	3
8.1 数据冗余类型	3
8.1.1 编码冗余 (Coding Redundancy)	3
8.1.2 空间冗余和时间冗余 (Spatial and Temporal Redundancy)	3
8.1.3 心理视觉冗余 (Psychovisual Redundancy)	3
8.1.4 三种数据冗余的综合对比与总结	4
8.1.5 信息与信源描述 (Information and Source Description)	4
8.1.6 保真度准则 (Fidelity Criteria)	5
8.2 图像压缩模型	5
8.2.1 信源编码器与解码器 (Source Encoder and Decoder)	6
8.2.2 信道编码器与解码器 (Channel Encoder and Decoder)	6
8.2.3 编解码器的对称性	6
8.3 一些基本的压缩方法	7
8.3.1 基本编码技术概述	7
8.3.2 霍夫曼编码 (Huffman Coding)	7
8.3.3 例题 19: 基于 4×8 图像的霍夫曼编码全过程推导	8
8.3.4 算术编码 (Arithmetic Coding)	10
8.3.5 例题 20: 算术编码过程	11
8.3.6 例题 21: 算术解码过程	11
8.3.7 行程编码 (Run-Length Coding, RLC)	12
8.3.8 比特平面编码 (Bit-Plane Coding)	12
8.3.9 JPEG 编码 (块变换编码, Block Transform Coding)	12
8.3.10 小波编码 (Wavelet Coding)	13
8.3.11 基于符号的编码 (Symbol-based Coding)	13
8.4 图像编码技术综合对比与总结	13
8.4.1 块效应 (Blocking Artifacts)	14
8.4.2 冗余消除的针对性总结	14
8.5 第八章核心重点问题总结	15
9 形态学图像处理 (Morphological Image Processing)	17
9.1 预备知识	17
9.1.1 集合论基本概念	17
9.1.2 反射与平移 (Reflection and Translation)	17
9.1.3 3. 结构元 (Structuring Element, SE)	18
9.2 二值图像形态学处理	18
9.2.1 腐蚀 (Erosion)	18
9.2.2 膨胀 (Dilation)	18
9.2.3 腐蚀与膨胀的对偶性 (Duality)	19
9.2.4 腐蚀与膨胀的应用及效果对比	19
9.2.5 开操作 (Opening)	20
9.2.6 闭操作 (Closing)	20

9.2.7	开闭运算的性质与对偶性	20
9.2.8	开闭操作的视觉效果总结	21
9.2.9	击中或击不中变换 (Hit-or-Miss Transform)	21
9.2.10	基本形态学算法	22
9.2.11	形态学操作符号汇总	23
9.2.12	例题 22：基于形态学与逻辑运算的垫圈形状检测	24
9.3	灰度级形态学	25
9.3.1	灰度腐蚀与膨胀	25
9.3.2	灰度开运算与闭运算	25
9.3.3	典型灰度形态学算法	25
9.4	第九章核心重点问题总结	26

8 图像压缩 (Image Compression)

8.1 数据冗余类型

在图像压缩中，若 n_1 代表原始图像的数据量， n_2 代表压缩后的数据量，则相关定义如下：

- **压缩比 (Compression Ratio):** $C = n_1/n_2$ 。
- **相对数据冗余 (Relative Data Redundancy):** $R = 1 - \frac{1}{C}$ 。

图像压缩的核心在于消除以下三种基本冗余：

8.1.1 编码冗余 (Coding Redundancy)

编码冗余发生在为灰度级分配码字时，没有考虑到灰度级出现的统计概率。

- **平均码长 (Average Length):** 设随机变量 r_k 表示灰度级， $p(r_k)$ 为其出现的概率， $l(r_k)$ 为分配给该灰度级的比特数，则平均码长为：

$$L_{avg} = \sum_{k=0}^{L-1} l(r_k)p(r_k)$$

- **冗余判据:** 若 L_{avg} 大于图像的熵 (Entropy)，则存在编码冗余。
- **消除方法:** 为频繁出现的灰度级分配较短的码字，为不常出现的灰度级分配较长的码字（如 Huffman 编码）。

8.1.2 空间冗余和时间冗余 (Spatial and Temporal Redundancy)

空间冗余（针对静止图像）和时间冗余（针对视频序列）反映了像素之间的相关性。

- **原理:** 由于相邻像素在空间上通常高度相关（灰度值相近），直接存储每个像素的绝对值会导致大量重复信息的记录。
- **消除方法:**
 - 映射 (Mapping): 将像素值转换为另一种形式（如差分值），使数据分布更加集中。
 - 典型技术: 运行长度编码 (RLE)、预测编码 (DPCM) 等。

8.1.3 心理视觉冗余 (Psychovisual Redundancy)

心理视觉冗余与人类视觉系统 (HVS) 对不同视觉信息的敏感度不同有关。

- **定义:** 人类大脑并不对图像中的所有比特信息进行等权处理。人眼对某些信息的忽略使得这部分数据在视觉表现上是多余的。
- **关键特征:**
 - 消除心理视觉冗余必然导致信息丢失，因此这种压缩是不可逆的（有损压缩）。
 - 这种方法利用了人眼对高频细节（如纹理）或某些颜色变化的不敏感性。
- **消除方法:** 量化 (Quantization)。通过减少灰度级的精细程度，在视觉质量可接受的情况下显著降低数据量。

8.1.4 三种数据冗余的综合对比与总结

为了更清晰地理解三种冗余的区别，下表从处理目标、数学本质、处理手段及可恢复性四个维度进行了对比总结：

表 1: 编码冗余、空间/时间冗余与心理视觉冗余对比

维度	编码冗余 (Coding)	空间与时间冗余 (Spatial/Temporal)	心理视觉冗余 (Psycho-visual)
处理目标	消除灰度级符号表示的冗余。	消除像素间的相关性 (重复信息)。	消除人类视觉系统不敏感的信息。
数学本质	$L_{avg} > H$ (平均码长大于熵)。	像素值可以由相邻像素预测。	图像中包含人眼感知不到的比特。
典型处理方法	变长编码: 如 Huffman 编码、算术编码。	映射与变换: 如预测编码 (DPCM)、变换编码 (DCT)。	量化 (Quantization): 减少灰度等级或频率分量精度。
可恢复性	无损 (Lossless): 解压后可完全恢复原始像素值。	通常无损: 若映射过程可逆，则可完全恢复。	有损 (Lossy): 信息一旦去除不可恢复，图像质量有降级。

异同点核心深度解析:

1. 共同点：三者的最终目的都是为了降低表示图像所需的总比特数，提高压缩比。

2. 不同点 - 理论极限：

- 编码冗余和空间冗余的消除通常不涉及图像质量的损失，其压缩极限受图像本身的统计特征（熵）限制。
- 心理视觉冗余的消除则是人为地丢弃“次要”数据，它突破了熵的限制，是实现高压缩比（如 10:1 以上）的关键手段。

3. 处理逻辑的先后：

- 在典型的压缩模型中，通常先通过映射器消除空间冗余。
- 接着通过量化器消除心理视觉冗余。
- 最后通过符号编码器消除编码冗余。

8.1.5 信息与信源描述 (Information and Source Description)

在图像压缩中，我们需要一种数学方法来度量信息。通常将图像的灰度级看作是一个离散信源的输出。

- 自信息 (Self-information): 设一个灰度级 r_k 出现的概率为 $p(r_k)$ ，则该灰度级所包含的信息量定义为：

$$I(r_k) = -\log p(r_k)$$

当对数底数为 2 时，信息的单位为比特 (bits)。这表明：出现概率越小的事件，包含的信息量越大。

- **信息熵 (Entropy)**: 信源输出的平均信息量称为熵。对于一幅具有 L 个灰度级的图像，其熵定义为：

$$H = - \sum_{k=0}^{L-1} p(r_k) \log_2 p(r_k)$$

物理意义：熵 H 给出了对图像灰度级进行无损编码时，每个像素所需的最小平均比特数的理论极限。

- **信源描述**：

- **零阶信源**：假设像素间相互独立，仅由灰度直方图决定熵（即一阶熵）。
- **阶数扩展**：若考虑像素间的相关性（如相邻像素），则可以使用二阶或高阶熵。通常像素间相关性越强，条件熵越小，压缩潜力越大。

8.1.6 保真度准则 (Fidelity Criteria)

保真度准则用于衡量压缩后的图像与原始图像之间的接近程度，特别是在有损压缩中，它是评价算法性能的关键指标。主要分为两类：

1. **客观保真度准则 (Objective Fidelity Criteria)**：通过数学公式计算两幅图像之间的差异。

- **均方根误差 (RMS Error)**：

$$e_{rms} = \sqrt{\frac{1}{MN} \sum_{x=0}^{M-1} \sum_{y=0}^{N-1} [\hat{f}(x, y) - f(x, y)]^2}$$

其中 f 为原图， \hat{f} 为解压后的图像。

- **峰值信噪比 (PSNR)**：

$$PSNR = 10 \log_{10} \frac{L^2}{e_{rms}^2}$$

PSNR 值越高，表示图像失真越小。

2. **主观保真度准则 (Subjective Fidelity Criteria)**：由于客观准则（如 RMS）并不总是能完美反映人眼的视觉感受，因此需要观察者对图像质量进行评价。

- **方法**：通常由一组观察者根据预设的评分标准（如：优秀、良好、差等）对图像进行打分，最后计算平均评价得分 (MOS)。
- **必要性**：在涉及心理视觉冗余的消除时，主观准则是最终的衡量标准。

8.2 图像压缩模型

图像压缩系统通常由两个截然不同的逻辑块组成：**编码器 (Encoder)** 和 **解码器 (Decoder)**。由两者组成的整体被称为编解码器 (Codec)。

8.2.1 信源编码器与解码器 (Source Encoder and Decoder)

信源编码器旨在通过消除图像中的冗余来减少输入图像的数据量。它主要由以下三个阶段组成：

1. 映射器 (Mapper) :

- **功能：** 将输入图像变换为一种旨在减少空间冗余（或时间冗余）的格式。
- **特性：** 该步骤通常是可逆的。
- **典型操作：** 运行长度编码 (Run-length coding) 或离散余弦变换 (DCT) 等。

2. 量化器 (Quantizer) :

- **功能：** 根据预设的保真度准则，减少心理视觉冗余。
- **特性：** 这是压缩模型中唯一的不可逆阶段。一旦执行，原始信息将无法完全恢复。
- **注意：** 在无损压缩模型中，该模块将被跳过。

3. 符号编码器 (Symbol Encoder) :

- **功能：** 为量化器的输出分配码字，以消除编码冗余。
- **典型方法：** 使用变长编码，为出现频率高的值分配短码，出现频率低的值分配长码。
- **特性：** 该步骤是完全可逆的。

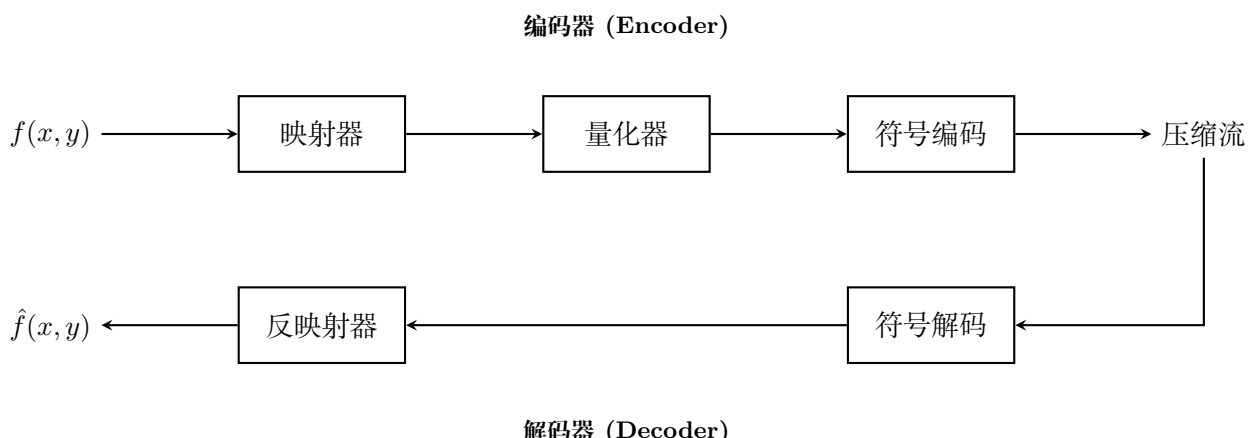
8.2.2 信道编码器与解码器 (Channel Encoder and Decoder)

当压缩后的图像需要通过通信信道传输时，信道编码器起到关键作用。

- **信道编码器：** 以受控的方式在压缩数据中加入冗余（如纠错码），以减少信道噪声的影响。
- **信道解码器：** 利用加入的冗余检测并纠正传输过程中产生的错误。

8.2.3 编解码器的对称性

信源解码器包含符号解码器和反射器，它们分别执行与编码器相反的操作。由于量化过程是不可逆的，因此解码器中不存在“反量化器”，而是使用一个根据量化规则重建灰度级的模块。



8.3 一些基本的压缩方法

图像压缩算法根据其是否能完全恢复原始数据，主要分为两大类：

- **无损压缩 (Lossless Compression)**: 能够从压缩数据中精确还原原始图像，不丢失任何信息。适用于医学图像、法律文档或科学研究。
- **有损压缩 (Lossy Compression)**: 在重建时会丢失部分信息，但能获得远高于无损压缩的压缩比。适用于视频、流媒体及普通数码照片。

8.3.1 基本编码技术概述

在详细讨论具体算法前，以下是图像压缩中常用的几种核心技术及其消除的冗余类型：

1. 消除编码冗余的技术：

- **霍夫曼编码 (Huffman Coding)**: 根据符号出现概率分配变长码，是最常用的变长编码。
- **算术编码 (Arithmetic Coding)**: 将整个消息序列映射为 $[0, 1)$ 区间的一个实数。相比霍夫曼编码，它在处理极高概率符号时效率更高。
- **LZW 编码 (Lempel-Ziv-Welch Coding)**: 基于字典的编码方法，通过为重复出现的字符串分配固定长度的代码来压缩，广泛用于 GIF 格式。

2. 消除空间冗余的技术：

- **行程编码 (Run-Length Coding)**: 又称码长编码。通过记录相同像素值连续出现的长度 (Run) 来压缩，对二值图像（如传真）极其有效。
- **比特平面编码 (Bit-Plane Coding)**: 将多位图像分解为一系列二值平面，分别进行压缩。
- **基于符号的编码 (Symbol-based Coding)**: 将图像表示为预定义符号库中的索引，常用于文档压缩。
- **预测编码 (Predictive Coding)**: 仅编码相邻像素间的差异（残差），使数据分布大幅向 0 集中（如 DPCM）。

3. 消除心理视觉冗余的技术（有损）：

- **块变换编码 (Block Transform Coding)**: 将图像分割为小块（如 8×8 ），通过离散余弦变换 (DCT) 将能量集中到低频系数，并对高频系数进行量化舍弃 (JPEG 核心)。
- **小波编码 (Wavelet Coding)**: 在多尺度下对图像进行分解。它不仅消除了空间和心理视觉冗余，还避免了变换编码在低码率下的“块效应” (JPEG2000 核心)。

8.3.2 霍夫曼编码 (Huffman Coding)

霍夫曼编码是消除**编码冗余**最常用的技术之一。它是一种变长编码 (Variable-length Coding) 算法，在不考虑符号间相关性的前提下，对于给定的信源符号集，霍夫曼编码能实现最短的平均码长。

1. 核心原理：

- **变长策略**: 根据符号出现的概率分配不同长度的码字。出现频率高的符号分配较短的码字，出现频率低的符号分配较长的码字。
- **前缀码特性**: 霍夫曼码是一种前缀码 (Prefix Code)，即任何一个码字都不是另一个码字的前缀。这保证了在解码时无需分隔符即可实现唯一解码 (Unique Decodability)。

2. 算法执行步骤:

- **步骤 1: 源归约 (Source Reduction)**
 - 将信源符号按概率大小进行降序排列。
 - 将概率最小的两个符号合并为一个复合符号，其概率为两者概率之和。
 - 将合并后的新符号集重新进行排序。
 - 重复上述过程，直到最后只剩下两个符号为止。
- **步骤 2: 码字分配 (Code Assignment)**
 - 从归约过程的最后一步出发，分别为最后的两个符号分配二进制数字“0”和“1”。
 - 沿归约路径向回追溯，在每一次合并的节点处，分别为其分支分配“0”和“1”，直到回到所有原始符号。

3. 性能衡量指标:

- **平均码长 (Average Word Length):**

$$L_{avg} = \sum_{k=1}^L p(r_k)l(r_k)$$

其中 $p(r_k)$ 是符号 r_k 出现的概率， $l(r_k)$ 是为其分配的码字长度。

- **编码效率 (Coding Efficiency):**

$$\eta = \frac{H}{L_{avg}} \times 100\%$$

其中 H 是信源的熵 (Entropy)。霍夫曼编码被证明是最优的单符号编码，其 L_{avg} 满足：
 $H \leq L_{avg} < H + 1$ 。

4. 方法总结与局限性:

- **优点**: 实现简单，计算效率高，能有效消除编码冗余。
- **局限性**: 它针对单个符号进行编码，没有利用像素间的空间相关性；且在处理概率分布极不均匀（如某一概率接近 1）的情况时，其压缩效率不如算术编码。

8.3.3 例题 19: 基于 4×8 图像的霍夫曼编码全过程推导

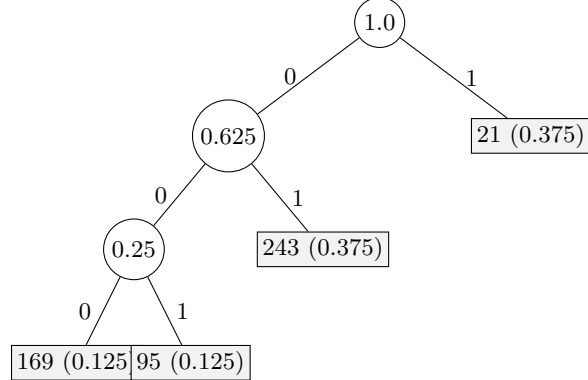
题目: 已知一幅 4×8 的 8 比特灰度图像 f 如下。请: (1) 统计概率; (2) 绘制霍夫曼树并分配码字; (3) 计算该信源的熵 H ; (4) 计算平均码长 L_{avg} 、压缩比 C 及编码效率 η 。

$$f = \begin{bmatrix} 21 & 21 & 21 & 95 & 169 & 243 & 243 & 243 \\ 21 & 21 & 21 & 95 & 169 & 243 & 243 & 243 \\ 21 & 21 & 21 & 95 & 169 & 243 & 243 & 243 \\ 21 & 21 & 21 & 95 & 169 & 243 & 243 & 243 \end{bmatrix}$$

1. 统计概率分布 图像总像素数 $n = 4 \times 8 = 32$ 。各灰度级出现的次数 n_k 及概率 p_k 为：

- $r_1 = 21$: 出现 12 次, $p_1 = 12/32 = 0.375$
- $r_2 = 243$: 出现 12 次, $p_2 = 12/32 = 0.375$
- $r_3 = 95$: 出现 4 次, $p_3 = 4/32 = 0.125$
- $r_4 = 169$: 出现 4 次, $p_4 = 4/32 = 0.125$

2. 霍夫曼树与码字分配 通过不断合并概率最小的节点构建最优二叉树：



码字分配结果：

- $r_k = 21 \rightarrow 1$ (长度 1)
- $r_k = 243 \rightarrow 01$ (长度 2)
- $r_k = 95 \rightarrow 001$ (长度 3)
- $r_k = 169 \rightarrow 000$ (长度 3)

3. 性能评价计算

1. 计算信源熵 H :

$$H = -\sum_{k=1}^4 p_k \log_2 p_k$$

代入数据：

$$H = -[0.375 \log_2 0.375 + 0.375 \log_2 0.375 + 0.125 \log_2 0.125 + 0.125 \log_2 0.125]$$

$$H = -[0.75 \times (\log_2 3 - 3) + 0.25 \times (-3)] \approx -[0.75 \times (1.585 - 3) - 0.75]$$

$$H \approx 1.811 \text{ bits/pixel}$$

2. 计算平均码长 L_{avg} :

$$L_{avg} = \sum p_k l_k = 0.375(1) + 0.375(2) + 0.125(3) + 0.125(3)$$

$$L_{avg} = 0.375 + 0.75 + 0.375 + 0.375 = 1.875 \text{ bits/pixel}$$

3. **计算压缩比 C** : 原始图像为 8-bit 编码, 即 $L_{orig} = 8$ 。

$$C = \frac{L_{orig}}{L_{avg}} = \frac{8}{1.875} \approx 4.267$$

4. **计算编码效率 η** :

$$\eta = \frac{H}{L_{avg}} \times 100\% = \frac{1.811}{1.875} \times 100\% \approx 96.59\%$$

结论: 该压缩方案通过消除编码冗余, 在无损的前提下将数据量减少了约 76.5% ($1 - 1/4.267$)。

8.3.4 算术编码 (Arithmetic Coding)

算术编码是一种非块前缀编码技术。与霍夫曼编码为每个信源符号分配固定码字不同, 算术编码将整个输入符号序列映射为实数轴上 $[0, 1)$ 区间内的一个小数。

1. **基本原理:**

- **整体编码:** 它不把符号看作独立的个体, 而是把整个消息序列看作一个整体。
- **区间划分:** 初始区间为 $[0, 1)$ 。随着序列中符号的逐个输入, 编码器根据每个符号出现的概率, 不断地将当前区间缩小为一个子区间。
- **数值表示:** 序列处理结束后, 最终落在一个极小的区间内。该区间内的任何一个实数都可以代表整个原始序列, 通常选择二进制表示最短的那个数作为编码结果。

2. **算法执行逻辑:**

- **初始化:** 根据信源符号的概率分布, 将 $[0, 1)$ 区间划分为若干个互不重叠的子区间, 每个子区间的长度等于对应符号的概率。
- **区间更新过程:**
 - (a) 读取一个符号, 找到它在当前区间中所占的子区间。
 - (b) 将该子区间设为“当前搜索区间”。
 - (c) 按照原始概率比例, 对这个新区间进行再次划分。
 - (d) 重复上述步骤, 直到所有符号处理完毕。
- **输出:** 记录最终区间的下限 (Base) 和长度 (Range), 或者输出该区间内的一个特定浮点值。

3. **主要优势与特点:**

- **效率极高:** 对于概率非常大的符号 (例如概率为 0.99), 霍夫曼编码至少要给它 1 位, 而算术编码可以给它远小于 1 位的平均长度, 理论上能无限接近信源熵。
- **性能:** 尤其在符号概率分布极不均匀时, 算术编码的压缩比远优于霍夫曼编码。

4. **局限性:**

- **计算复杂度:** 涉及高精度的浮点运算 (或者复杂的整数缩放实现), 计算开销比霍夫曼编码大。
- **错误敏感:** 由于是整体编码, 序列中任何一位比特错误都会导致解码过程彻底失效, 具有显著的错误扩散效应。

8.3.5 例题 20：算术编码过程

题目：已知信源符号概率如下表，请对序列 $a_1a_2a_3$ 进行编码。

符号	a_1	a_2	a_3	a_4
概率 P	0.2	0.2	0.4	0.2
初始子区间	[0.0, 0.2)	[0.2, 0.4)	[0.4, 0.8)	[0.8, 1.0)

1. 第一步：处理 a_1

- 初始空间是 $[0, 1)$ ，长度 $L = 1$ 。
- 根据初始表， a_1 占据了前 20% 的空间。
- **锁定区间：** $[0.0, 0.2)$ 。此时新起点 $Base = 0.0$ ，新长度 $Range = 0.2$ 。

2. 第二步：处理 a_2

- 此时在 $[0.0, 0.2)$ 区间中，开始计算 a_2 的位置。
- a_2 在原始比例中是从 20% 开始到 40% 结束。
- **计算新起点：** $0.0 + (0.2 \times 0.2) = 0.04$ （老起点 + 老长度 $\times a_2$ 的相对起点）。
- **计算新终点：** $0.0 + (0.2 \times 0.4) = 0.08$ （老起点 + 老长度 $\times a_2$ 的相对终点）。
- **锁定区间：** $[0.04, 0.08)$ 。此时新长度 $Range = 0.08 - 0.04 = 0.04$ 。

3. 第三步：处理 a_3

- 现在的区间缩减到了 $[0.04, 0.08)$ 。我们要在这里面找 a_3 。
- a_3 在原始比例中是从 40% 开始到 80% 结束。
- **计算新起点：** $0.04 + (0.04 \times 0.4) = 0.056$ 。
- **计算新终点：** $0.04 + (0.04 \times 0.8) = 0.072$ 。
- **锁定区间：** $[0.056, 0.072)$ 。

结论：序列 $a_1a_2a_3$ 的编码结果就是落在 $[0.056, 0.072)$ 之间的任何一个数。

8.3.6 例题 21：算术解码过程

题目：已知接收到的编码值为 0.068，序列长度为 3，概率表同上。请还原原始符号。

核心逻辑：看这个数落在哪，就判定是哪个符号；判定完后，把该符号占据的空间“切掉”并将剩余空间“拉伸”回 $[0, 1)$ 寻找下一个。

1. 解码第一个符号

- 0.068 落在初始表的 $[0.0, 0.2)$ 之间。
- **判定：**第一个符号是 a_1 。
- **归一化（拉伸）：**我们要看看 0.068 在 a_1 的初始子区间 $[0.0, 0.2)$ 处于什么相对位置？
- 公式： $v_2 = (0.068 - 0.0)/0.2 = 0.34$ 。

2. 解码第二个符号

- 拿新值 0.34 去对初始表，它落在 [0.2, 0.4) 之间。
- **判定：**第二个符号是 a_2 。
- **归一化（拉伸）：**看看 0.34 在 a_2 的子区间 [0.2, 0.4) 里的相对位置。
- 公式： $v_3 = (0.34 - 0.2)/0.2 = 0.7$ 。（解释：减去 a_2 的起点 0.2，除以 a_2 的宽度 0.2）。

3. 解码第三个符号

- 拿新值 0.7 去对初始表，它落在 [0.4, 0.8) 之间。
- **判定：**第三个符号是 a_3 。

结论：原始序列为 $a_1a_2a_3$ 。

8.3.7 行程编码 (Run-Length Coding, RLC)

行程编码是一种简单的无损压缩技术，主要用于消除空间冗余。

- **核心思想：**如果图像中存在大量连续重复的像素，不再逐个记录像素值，而是记录“像素值”和“该值连续出现的次数（行程长度）”。
- **应用：**在二值图像（如传真、扫描文档）中效果极佳。
- **示例：**序列 AAAAABBBC 可编码为 (A,5), (B,3), (C,2)。

8.3.8 比特平面编码 (Bit-Plane Coding)

比特平面编码通过将一幅多比特图像分解为一系列二值图像来处理。

- **分解逻辑：**一个 2^n 灰度级的图像可以分解为 n 个二值平面。高阶平面包含了图像的主要视觉特征，低阶平面则多为噪声。
- **处理方法：**通常结合行程编码或算术编码对每一个二值平面独立压缩。
- **格雷码 (Gray Code) 的应用：**为了减少相邻灰度值变动引起的比特位剧烈翻转，通常先将图像转换为格雷码，再进行平面分解，这样可以增加行程长度，提高压缩率。

8.3.9 JPEG 编码 (块变换编码, Block Transform Coding)

JPEG 是最经典的有损压缩标准，其核心是消除心理视觉冗余。它采用的是典型的块编码策略。

什么是块编码？ 块编码是指将整幅图像分割成若干个大小固定的非重叠像素块 (Blocks)，并以这些“块”为基本单位进行处理和编码。这种方法的逻辑是：

- **相关性利用：**图像在局部区域（如 8×8 范围内）通常具有极强的像素相关性，分块处理便于提取局部特征。
- **简化计算：**对全图进行整体变换（如大尺度 DCT）计算量巨大且效率低，分块可以将复杂的全局计算简化为多个并行的局部计算。

核心步骤 :

1. **分块:** 将图像分为 8×8 的非重叠小块。这是块编码的起点，后续所有步骤均以此块为单位独立进行。
2. **变换 (DCT):** 对每块执行离散余弦变换。其目的是将图像从空间域转换到频率域，将能量集中在左上角的低频系数（直流分量 DC）上。
3. **量化 (Quantization):** **关键步骤。**根据量化表对变换系数除以步长并取整。由于人眼对高频不敏感，高频系数（交流分量 AC）通常被量化为 0，从而实现大幅度压缩。
4. **符号编码:**
 - 对直流系数 (DC) 进行差分编码。
 - 对交流系数 (AC) 进行“之”字形 (Zig-zag) 扫描。
 - 最后通过哈夫曼编码进一步消除编码冗余。

8.3.10 小波编码 (Wavelet Coding)

小波编码是 JPEG2000 标准的基础，相比 DCT 变换编码具有明显的优势。

- **多尺度特性:** 通过小波变换将图像分解为不同尺度和方向的子带。
- **优点:**
 - **无块效应:** 由于是在全图或大块上进行变换，避免了 JPEG 在低码率下的“方块效应”。
 - **渐进传输:** 支持从低分辨率到高分辨率的逐级重构。

8.3.11 基于符号的编码 (Symbol-based Coding)

这种方法常用于包含大量重复符号的文档图像压缩（如 JBIG2 标准）。

- **原理:** 将图像表示为预定义符号库（如字母、数字）的集合。
- **过程:**
 1. 建立一个包含所有唯一符号的“字典”。
 2. 记录每个符号在图像中出现的位置（坐标）以及它在字典中的索引。
- **优势:** 对于扫描文本，压缩比远高于传统的二值图像压缩。

8.4 图像编码技术综合对比与总结

下表对各种编码技术进行了系统化的对比，涵盖了它们的多重特征及其在实际应用中的优缺点。

编码方法	应用场景	主要特征	优点	缺点
霍夫曼编码	通用无损压缩	1. 块编码 2. 变长前缀码 3. 统计概率分配	实现简单, 无损还原	每个符号至少占 1bit
算术编码	JPEG2000	1. 非块编码 2. 全局区间缩放映射	压缩比逼近熵极限	计算开销大, 容错性差
LZW 编码	GIF, TIFF	1. 块编码 (字典项) 2. 动态字典自适应	无需预知概率分布	字典维护占用内存
行程编码	二值图, 传真	1. 非块/流式编码 2. 游程计数统计	结构简单, 处理极快	像素变化剧烈时效率低
比特平面	灰度图压缩	1. 分层编码 2. 位深度分解映射	突出视觉重要比特层	低位平面压缩效果差
预测编码	视频, DPCM	1. 非块/递归编码 2. 消除相邻相关性	显著降低数据动态范围	存在预测误差扩散风险
JPEG (DCT)	数码摄影	1. 块编码 (8×8 块) 2. 频域变换与量化	压缩比高, 人眼适配	低码率下产生块效应
小波编码	JPEG2000	1. 非块/全局变换 2. 多分辨率分解	无块效应, 支持渐进传输	算法复杂度较高

8.4.1 块效应 (Blocking Artifacts)

在 JPEG 等基于块变换的有损压缩中, 经常会出现“块效应”, 这是评价有损压缩质量的重要指标。

- **定义:** 图像中 8×8 分块的边界处出现明显的不连续跳变, 看起来像是许多小方格拼凑而成。
- **成因:**
 1. **独立变换:** 每个 8×8 块是独立进行离散余弦变换 (DCT) 的, 块与块之间没有考虑平滑过渡。
 2. **量化误差:** 这是核心原因。在压缩过程中, 为了节省空间, 量化器会粗略地舍弃高频系数。当压缩率过高时, 相邻两个块在量化后的直流 (DC) 和低频系数上出现较大偏差, 导致块边界处灰度不连续。
- **解决方法:** 采用小波编码 (全局或大区域变换) 或者在解码后使用去块滤波器 (De-blocking Filter)。

8.4.2 兀余消除的针对性总结

为了更清晰地理解算法的本质, 我们将各方法与其针对的冗余类型进行归类:

- **消除编码冗余:** 霍夫曼编码、算术编码 (主要通过概率分布优化码字长度)。
- **消除空间冗余:** 行程编码 (RLC)、预测编码 (DPCM)、比特平面编码、LZW 编码 (主要通过利用像素间的相关性)。

- **消除心理视觉冗余**: 量化 (Quantization) ——这是 JPEG 和所有有损压缩的核心，通过牺牲人眼不敏感的信息换取压缩空间。

8.5 第八章核心重点问题总结

1. 图像压缩 (Image Compression) 中的三类主要数据冗余是什么?
 - **编码冗余 (Coding Redundancy)**: 当为表示一组符号 (如像素灰度) 而分配的码字所用的平均比特数超过了该信源的熵时，就存在编码冗余。通常通过变长编码 (如哈夫曼编码) 解决。
 - **空间/时间冗余 (Interpixel/Interframe Redundancy)**: 由于图像中相邻像素之间 (或视频帧间) 存在高度的相关性，导致数据重复。通常通过预测编码、变换编码或行程编码解决。
 - **心理视觉冗余 (Psychovisual Redundancy)**: 人眼对不同频率和亮度的敏感度不同，某些信息虽然存在但人类视觉系统无法感知。通过有损压缩 (量化) 去除这部分信息，可以显著提高压缩比。
2. 如何评价图像压缩算法的性能 (保真度准则)?
 - **客观保真度准则**: 通过数学公式度量原始图像与重建图像的误差。常用指标包括均方根误差 (RMS Error) 和峰值信噪比 (PSNR)。PSNR 值越高，代表重构质量越好。
 - **主观保真度准则**: 通过观察者对图像质量的直接评价 (如平均评价得分 MOS) 来衡量。在有损压缩中，主观准则往往比客观准则更贴合实际应用需求。
3. 霍夫曼编码 (Huffman Coding) 与算术编码 (Arithmetic Coding) 的主要区别是什么?
 - **霍夫曼编码**: 属于块编码，为每个信源符号分配一个唯一的码字。其限制在于每个符号至少要占 1 bit，在符号概率极大时效率无法达到最优。
 - **算术编码**: 属于非块编码，将整个输入序列映射为 $[0, 1]$ 区间内的一个单一浮点数。它能够实现分数值的平均比特数，理论上能无限接近信源熵，是性能最强的无损编码之一。
4. 在 JPEG 压缩标准中，量化 (Quantization) 步骤起到了什么作用？量化是 JPEG 流程中唯一的不可逆步骤，也是产生压缩收益和图像降质的根本原因。
 - **作用**: 通过将 DCT 变换后的系数除以量化表并取整，舍弃掉大量人眼不敏感的高频分量。
 - **结果**: 使得变换矩阵中出现大量的零值，为后续的“之”字形扫描和行程编码创造了极高的压缩条件。
5. JPEG 压缩中的“块效应 (Blocking Artifacts)”是如何产生的？块效应表现为图像中 8×8 分块边缘的不连续跳变。
 - **成因**: 因为 JPEG 是对每个 8×8 像素块独立进行 DCT 变换和量化的。当压缩率过高时，量化过程会导致相邻块在直流 (DC) 分量和低频分量上的偏差增大，由于块之间没有平滑衔接，边界处便产生了视觉上的阶跃。
6. 小波编码 (Wavelet Coding) 相比传统的 DCT 变换编码有哪些优势？

- **无块效应**: 小波变换是在全图或较大的瓦片 (Tiles) 上进行的，重构图像边缘平滑，在低码率下表现远优于 JPEG。
- **多尺度特性**: 提供图像在不同分辨率下的描述，支持“渐进传输 (Progressive Transmission)”，即用户可以先接收低分辨率缩略图，再逐步接收细节。
- **高压缩比**: 在保持同等画质的前提下，JPEG2000 (基于小波) 的压缩率通常比普通 JPEG 提高 20%–50%。

7. **LZW 编码的自适应性体现在哪里？** LZW 编码不需要预先分析数据的统计概率。它在扫描数据的过程中动态地构建字典，将重复出现的序列（字符串）映射为短索引。对于具有大量重复模式的图像（如带大面积单一背景的 GIF 或 TIFF 图像），随着字典的不断充实，其压缩性能会越来越强。

9 形态学图像处理 (Morphological Image Processing)

形态学 (Morphology) 一词源于生物学，意为“研究形状的学科”。在数字图像处理中，数学形态学 (Mathematical Morphology) 是一种用于提取图像分量的工具，对于表示和描述区域形状（如边界提取、骨架提取、凸包计算）非常有用。

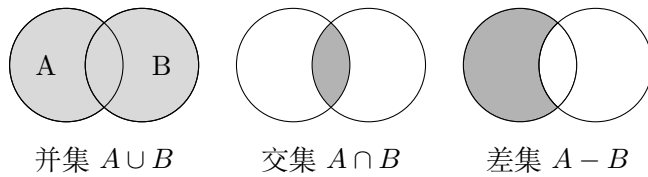
9.1 预备知识

数学形态学的理论基础是集合论。在二值形态学中，我们将图像看作是二维整数空间 Z^2 中的点集。

9.1.1 集合论基本概念

在二值形态学中，集合 A 代表图像中的前景像素点。设 $a = (a_1, a_2)$ 是集合中的元素，表示像素的坐标。

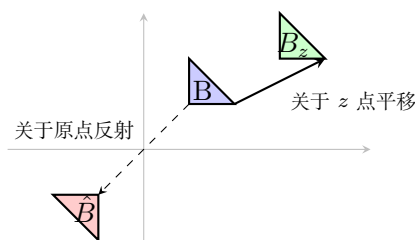
- 子集 ($A \subseteq B$): 若 A 的每个元素都是 B 的元素，则称 A 是 B 的子集。
- 并集 ($C = A \cup B$): 两个集合合并后的总区域。
- 交集 ($D = A \cap B$): 两个集合重叠的共有区域。
- 补集 (A^c): 相对于全集 Z^2 ，不属于 A 的所有点（即背景）。
- 差集 ($A - B$): 属于 A 但剔除掉属于 B 的部分，即 $A - B = A \cap B^c$ 。



9.1.2 反射与平移 (Reflection and Translation)

这两个操作是定义“腐蚀”与“膨胀”的数学基石。

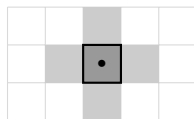
1. 反射 (Reflection): 集合 B 关于原点的反射记为 \hat{B} ，定义为： $\hat{B} = \{w \mid w = -b, b \in B\}$ 。若 B 是一个结构元， \hat{B} 相当于将 B 绕其原点旋转 180° 。
2. 平移 (Translation): 集合 A 沿位移向量 $z = (z_1, z_2)$ 的平移记为 $A_z = \{c \mid c = a + z, a \in A\}$ 。



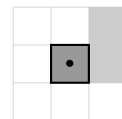
9.1.3 3. 结构元 (Structuring Element, SE)

结构元是探测图像形状的“探针”。

- **原点**: 决定了当前探测的位置，结果图像在该位置的取值由结构元覆盖范围内的计算结果决定。
- **形状设计**: 形态学处理的效果高度取决于结构元的形状和大小。
- **“不关心”元素 (Don't-care elements)**: 在表示结构元时，有时某些位置并不影响计算结果。这些位置通常在网格中留空（或不加标记），表示在进行集合运算时，这些位置的图像像素值无论是 0 还是 1 都不参与匹配判定。这在“击中或击不中变换”中尤为重要。



十字型 SE (中心为原点)



非对称 SE (原点在角点)

9.2 二值图像形态学处理

二值形态学处理的对象是集合。在二值图像中，我们通常将感兴趣的物体像素（灰度值为 1）看作集合 A ，而背景（灰度值为 0）看作其补集。

9.2.1 腐蚀 (Erosion)

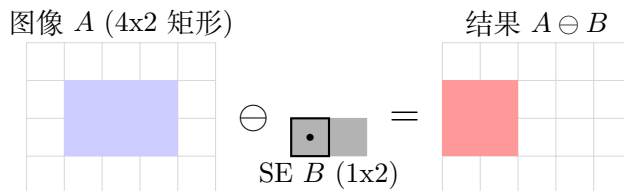
腐蚀操作类似于一种“收缩”或“细化”操作。它会消除图像中比结构元小的物体，并削薄物体的边界。

数学定义 结构元 B 对集合 A 的腐蚀表示为 $A \ominus B$ ，定义为：

$$A \ominus B = \{z \mid (B)_z \subseteq A\}$$

该公式的物理意义是：将结构元 B 平移，使得其原点位于 z 点。如果此时平移后的 B 完全包含在集合 A 中，那么该点 z 就属于腐蚀后的结果。

图解说明



注：腐蚀的结果取决于 SE 的原点位置。在上图中，只有当 SE 完全进入蓝色区域时，对应的原点位置才会被保留。

9.2.2 膨胀 (Dilation)

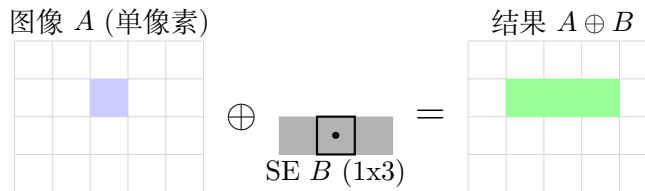
膨胀是腐蚀的逆过程，类似于“增长”或“粗化”操作。它会填充物体内的小孔洞，并连接距离较近的物体。

数学定义 结构元 B 对集合 A 的膨胀表示为 $A \oplus B$, 定义为:

$$A \oplus B = \{z \mid (\hat{B})_z \cap A \neq \emptyset\}$$

物理意义是: 将结构元 B 关于原点旋转 180 度得到 \hat{B} , 将其平移到 z 点。只要此时 \hat{B} 与集合 A 至少有一个像素重叠 (交集不为空), 那么该点 z 就属于膨胀后的结果。

图解说明



注: 膨胀会使物体向四周扩展。如果 SE 是 1×3 且原点在中心, 单像素物体将变成 1×3 的横条。

9.2.3 腐蚀与膨胀的对偶性 (Duality)

形态学处理中一个极重要的性质是腐蚀和膨胀互为对偶。这意味着我们可以通过对背景进行膨胀来间接实现对前景的腐蚀。

对偶性公式

$$(A \ominus B)^c = A^c \oplus \hat{B}$$

$$(A \oplus B)^c = A^c \ominus \hat{B}$$

其中 A^c 是 A 的补集 (背景), \hat{B} 是结构元的反射。

直观理解 如果你想“收缩”白色的物体, 你可以选择直接“腐蚀”白色区域, 也可以选择去“膨胀”黑色的背景, 两者的结果在逻辑上是一致的。

9.2.4 腐蚀与膨胀的应用及效果对比

在实际的图像处理任务中, 腐蚀和膨胀通常被用来消除噪声或提取特征。

- **腐蚀的效果:**

- 消除细小物体: 可以移除图像中面积小于结构元的噪声点 (如“胡椒”噪声)。
- 断开窄连接: 如果两个物体之间有细微的桥接, 腐蚀可以将其切断。
- 物体收缩: 整体缩小前景物体的轮廓。

- **膨胀的效果:**

- 填充小孔洞: 可以填充物体内部小于结构元的空隙 (如“盐”噪声)。
- 连接断裂处: 如果一个物体因为噪声或采样问题断开, 膨胀可以将其重新连接。
- 物体扩张: 整体加粗前景物体的轮廓。

9.2.5 开操作 (Opening)

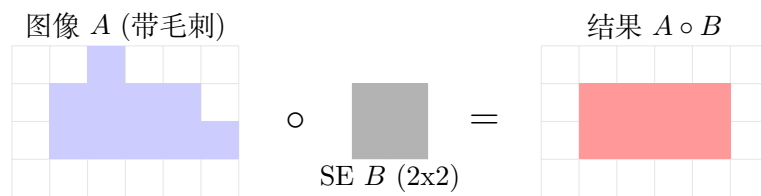
开操作是先腐蚀后膨胀的过程。

数学定义 使用结构元 B 对集合 A 进行开操作表示为 $A \circ B$, 定义为:

$$A \circ B = (A \ominus B) \oplus B$$

物理意义与几何解释 开操作具有一种“平滑轮廓”的作用。它能切断窄的间断，消除细长的突出物，并移除小于结构元的孤立亮点。从几何上看， $A \circ B$ 是由结构元 B 能够完全平移并包含在 A 内部的所有点的并集。这就像是用一个圆形的刷子在图形内部滚过，刷子够不到的地方（细刺、毛边）都会被抹除，但物体的整体面积不会像单纯腐蚀那样大幅缩减。

图解说明



9.2.6 闭操作 (Closing)

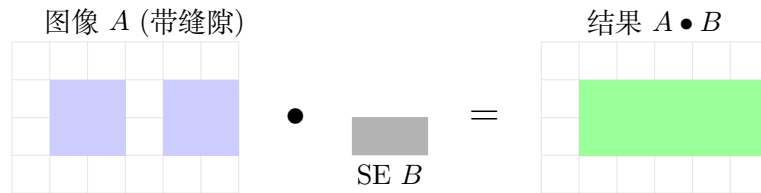
闭操作是先膨胀后腐蚀的过程。

数学定义 使用结构元 B 对集合 A 进行闭操作表示为 $A \bullet B$, 定义为:

$$A \bullet B = (A \oplus B) \ominus B$$

物理意义与几何解释 闭操作同样具有“平滑轮廓”的作用，但它主要针对的是内部。它能熔合窄的间断和长而窄的沟壑，消除细小的孔洞，并填补轮廓线上的断裂。从几何上看， $A \bullet B$ 的结果包含所有不在“结构元 B 在集合 A 的外部滚动时所覆盖范围”内的点。

图解说明



9.2.7 开闭运算的性质与对偶性

开运算和闭运算也满足对偶关系:

$$(A \bullet B)^c = A^c \circ \hat{B}$$

$$(A \circ B)^c = A^c \bullet \hat{B}$$

幂等性 (Idempotence) 这是一个非常重要的性质：对图像进行多次开操作（或闭操作），其结果与进行一次操作完全相同。

$$(A \circ B) \circ B = A \circ B$$

$$(A \bullet B) \bullet B = A \bullet B$$

这说明开闭操作是一种稳定的变换，一旦消除了特定尺寸的噪声或填补了缝隙，重复操作不会进一步改变图像。

9.2.8 开闭操作的视觉效果总结

为了区分这两个操作对边界和内部的影响，我们可以总结如下：

操作名称	对边界的影响	对细节的影响
开操作 ($A \circ B$)	平滑轮廓，但基本维持原物体大小。	消除细小的突出物（刺）、断开窄桥。
闭操作 ($A \bullet B$)	平滑轮廓，但基本维持原物体大小。	填充细小的孔洞、熔合窄的缝隙（沟壑）。

关键结论：开操作和闭操作之所以比单纯的腐蚀和膨胀更常用，正是因为它们在消除噪声的同时，能够恢复出物体原本的尺寸（因为先缩后涨或先涨后缩，大部分边界位置相互抵消了）。

9.2.9 击中或击不中变换 (Hit-or-Miss Transform)

击中或击不中变换是形态学中用于物体识别和模式匹配的基础工具。它的核心任务是：在图像 A 中定位一个特定的局部形状。

基本原理 如果我们想在图像中寻找一个特定的形状（如某个特定的字母或零件），我们需要满足两个条件：

1. “**击中**” 目标：结构元的前景部分必须与图像中的物体完全重叠。
2. “**击不中**” 背景：结构元的背景部分必须与图像中的背景完全重合。

只有当这两个条件同时满足时，才能确定找到了目标。

数学定义 设 $B = (B_1, B_2)$ 是一个复合结构元，其中 B_1 是由我们想要找的形状（目标）组成的集合， B_2 是由目标周围的背景组成的集合。集合 A 被 B 击中或击不中变换表示为 $A \circledast B$ ，定义为：

$$A \circledast B = (A \ominus B_1) \cap (A^c \ominus B_2)$$

其中：

- $A \ominus B_1$ 得到的是所有可能包含目标 B_1 的候选位置（击中部分）。
- $A^c \ominus B_2$ 得到的是所有背景环境匹配 B_2 的候选位置（击不中部分）。
- 两者的交集即为目标准确出现的位置（通常结果为单像素点）。

结构元的简化表示 在实际应用中，我们常将 B_1 和 B_2 合并成一个单一的结构元。在这个结构元中：

- 值为 1 的位置属于 B_1 (必须匹配前景)。
- 值为 0 的位置属于 B_2 (必须匹配背景)。
- 不关心 (Don't care) 的位置通常标记为 “X”，表示该位置无论是前景还是背景都不影响匹配结果。

图解说明

<table border="1" style="margin: auto;"> <tr><td>0</td><td>0</td><td>0</td></tr> <tr><td>0</td><td>1</td><td>0</td></tr> <tr><td>0</td><td>0</td><td>0</td></tr> </table>	0	0	0	0	1	0	0	0	0	<table border="1" style="margin: auto;"> <tr><td>X</td><td>X</td><td>X</td></tr> <tr><td>0</td><td>1</td><td>1</td></tr> <tr><td>X</td><td>X</td><td>X</td></tr> </table>	X	X	X	0	1	1	X	X	X
0	0	0																	
0	1	0																	
0	0	0																	
X	X	X																	
0	1	1																	
X	X	X																	

用于检测孤立点的 SE 用于检测左侧端点的 SE

应用效果 该变换是形态学识别的基础，广泛应用于：

- 特定形状提取：如在复杂的电路板图中寻找特定的焊盘形状。
- 端点检测：寻找线段的终点。
- 细化和骨架算法：作为这些高级算法的基本迭代步骤。

9.2.10 基本形态学算法

本节介绍如何通过组合基础算子解决实际问题。在以下算法中， A 表示原始二值图像集合， B 表示结构元， A^c 表示图像背景（补集）。

1. 边界提取 (Boundary Extraction)

- 数学表达式： $\beta(A) = A - (A \ominus B)$
- 变量含义： A 为原图像， B 为位移对称的结构元（如 3×3 全 1 矩阵）。
- 算法结果：得到物体 A 的内边界。原理是从原图中减去收缩后的内核，剩下的边缘即为边界。

2. 孔洞填充 (Region Filling)

- 数学表达式： $X_k = (X_{k-1} \oplus B) \cap A^c, \quad k = 1, 2, 3\dots$
- 变量含义： X_0 是位于孔洞内部的一个已知像素点（种子点）； B 是十字型结构元； A^c 是原图的背景。
- 算法结果：当 $X_k = X_{k-1}$ 时迭代停止，最终输出 $X_k \cup A$ 得到完全填充孔洞后的图像。

3. 连通分量提取 (Extraction of Connected Components)

- 数学表达式： $X_k = (X_{k-1} \oplus B) \cap A, \quad k = 1, 2, 3\dots$
- 变量含义： X_0 是属于某个连通区域的种子点； B 为 8-连通或 4-连通结构元； A 是原图。
- 算法结果：当迭代收敛时， X_k 即为图像中包含该种子点的独立连通物体。

4. 凸包 (Convex Hull)

- 数学表达式: $X_k^i = (X_{k-1} \circledast B^i) \cup A$
- 变量含义: \circledast 为击中或击不中变换; B^i 是四个方向的结构元序列。
- 算法结果: 令 $D^i = X_{k=converge}^i$, 最终输出 $C(A) = \bigcup_{i=1}^4 D^i$ 。得到包含物体的**最小凸多边形区域**。

5. 细化 (Thinning)

- 数学表达式: $A \otimes B = A - (A \circledast B)$
- 变量含义: \otimes 表示细化符号; B 是击中或击不中变换的结构元序列。
- 算法结果: 迭代剔除符合条件的边界像素, 最终得到物体的**单像素宽度轮廓**, 常用于 OCR 预处理。

6. 粗化 (Thickening)

- 数学表达式: $A \odot B = A \cup (A \circledast B)$
- 变量含义: \odot 表示粗化符号。
- 算法结果: 在物体边缘外增加像素, 输出**加粗后的物体**。通常用于补齐断裂的线段。

7. 骨架 (Skeleton)

- 数学表达式: $S(A) = \bigcup_{k=0}^K \{(A \ominus kB) - [(A \ominus kB) \circ B]\}$
- 变量含义: kB 表示对 A 连续进行 k 次腐蚀; K 是 A 被腐蚀为空集前的最后一次迭代。
- 算法结果: 输出物体的**中轴线集合**, 能够以最简洁的线条保留物体的拓扑结构。

8. 裁剪 (Pruning) 裁剪是细化操作的后处理过程, 用于去除多余的毛刺 (Parasitic components)。

- 第一阶段 (X_1): $X_1 = A \otimes \{B\}$ 。消除长度小于指定阈值的毛刺, 但也缩短了主干。
- 第二阶段 (X_2): $X_2 = \bigcup_{k=1}^8 (X_1 \circledast B^k)$ 。检测 X_1 中被缩短后的主干端点。
- 第三阶段 (X_3): $X_3 = (X_2 \oplus B) \cap A$ 。通过限制膨胀, 让主干线条沿着原图 A 的路径恢复长度。
- 最终结果: 输出 $X_1 \cup X_3$ 。得到既无毛刺又保持主干完整的几何骨架。

9.2.11 形态学操作符号汇总

下表总结了本章涉及的所有数学符号、对应的形态学操作及其核心功能, 以便于在复杂的组合算法中进行快速查阅。

符号	操作名称	数学定义/表达式	主要功能与效果
A^c	补集	$\{w \mid w \notin A\}$	定义图像的背景区域。
\hat{B}	反射	$\{w \mid w = -b, b \in B\}$	将结构元绕原点旋转 180°。
A_z	平移	$\{c \mid c = a + z, a \in A\}$	将集合 A 沿向量 z 移动。
$A \ominus B$	腐蚀	$\{z \mid (B)_z \subseteq A\}$	收缩物体，消除小于结构元的细节。
$A \oplus B$	膨胀	$\{z \mid (\hat{B})_z \cap A \neq \emptyset\}$	扩张物体，填充空隙，连接邻近物体。
$A \circ B$	开操作	$(A \ominus B) \oplus B$	先腐蚀后膨胀。平滑外部轮廓，断开窄桥，消除细长突出物。
$A \bullet B$	闭操作	$(A \oplus B) \ominus B$	先膨胀后腐蚀。平滑内部轮廓，熔合窄缝隙，填充小孔洞。
$A \circledast B$	击中或击不中	$(A \ominus B_1) \cap (A^c \ominus B_2)$	形状检测。同时匹配前景目标和背景环境。
$A \otimes B$	细化	$A - (A \circledast B)$	剥离边界像素，提取单像素宽度的轮廓。
$A \odot B$	粗化	$A \cup (A \circledast B)$	在特定结构处增加像素，加粗线条。
$\beta(A)$	边界提取	$A - (A \ominus B)$	提取物体的内部边缘轮廓。
$S(A)$	骨架提取	$\bigcup_{k=0}^K S_k(A)$	提取能代表物体形状特征的中轴线。

9.2.12 例题 22：基于形态学与逻辑运算的垫圈形状检测

题目：某高技术制造工厂与当地政府签订了一份合同，制造高精度垫圈（如下图所示）。合同要求使用图像系统来检测所有垫圈的形状偏差（内边缘和外边缘）。假设：(1) 存在一幅能够满足要求的垫圈“金 (Golden)”图像（即完美无暇的标准图像）；(2) 系统成像和定位精度足够高，可以忽略数字化和定位引起的误差。请根据形态学/逻辑运算提出一种检测方案。

1. 第一步：图像获取与预处理

- 照明设计：**由于关注点在边界缺陷，采用背光照明系统 (Back-lighting)，以产生高质量的二值图像。
- 二值化处理：**将采集到的待测图像转换为二值图像 A ，目标（垫圈实体）像素值为 1，背景为 0。

2. 第二步：执行逻辑对比运算

- 定义参考图：**令“金”图像为 G 。根据定义，其补集 G^c 代表了标准垫圈以外的所有区域。
- 逻辑运算：**将待测图像 A 与标准图的补集 G^c 进行“逻辑与”操作：

$$R = A \cap G^c \quad (\text{或表示为 } R = A \text{ AND } G^c)$$

- 原理分析：**如果垫圈完美，则 A 中为 1 的像素在 G^c 中对应的位置必然全部为 0，结果 R 为全黑（全 0）。若 A 在标准范围之外有突出（尺寸偏大或形变）， R 中会出现值为 1 的区域。

- **双向检测**: 同理, 通过 $G \cap A^c$ 可检测待测件是否存在缺口或尺寸偏小 (内/外径收缩)。

3. 第三步: 连通分量提取与分析

- **提取差异区域**: 利用连通分量算法提取结果图像 R 中所有值为 1 的连通区域。
- **计算特征**: 统计每个连通分量的数量及面积 (像素个数)。

结论: 根据提取出的连通分量判定检测结果:

- **完美匹配**: 连通分量个数为 0。
- **容差判定**: 若允许微小偏差, 可设置阈值 (例如: 连通分量面积小于 T 个像素则忽略)。
- **不合格**: 若存在面积超过预设值的连通分量, 则判定该垫圈存在形状偏差, 予以剔除。

9.3 灰度级形态学

灰度级形态学将形态学操作扩展到灰度图像。此时, 图像被视为三维空间中的曲面, $f(x, y)$ 代表坐标 (x, y) 处的灰度高度。

9.3.1 灰度腐蚀与膨胀

在灰度级形态学中, 结构元 b 通常是一个小型平坦矩阵 (类似于滤波掩模)。

- **灰度腐蚀 (Erosion)**:

$$(f \ominus b)(x, y) = \min_{(s, t) \in B} \{f(x + s, y + t)\}$$

效果: 在结构元范围内取最小值。它会使图像整体变暗, 减小明亮区域, 并消除较小的亮细节。

- **灰度膨胀 (Dilation)**:

$$(f \oplus b)(x, y) = \max_{(s, t) \in B} \{f(x - s, y - t)\}$$

效果: 在结构元范围内取最大值。它会使图像整体变亮, 扩大明亮区域, 并填充较小的暗缝隙。

9.3.2 灰度开运算与闭运算

定义与二值形态学一致, 但操作基于灰度腐蚀和膨胀。

- **开运算**: $f \circ b = (f \ominus b) \oplus b$ 。用于去除较小的亮细节, 同时保持背景和较大的亮区域基本不变。
- **闭运算**: $f \bullet b = (f \oplus b) \ominus b$ 。用于去除较小的暗细节, 同时保持明亮区域基本不变。

9.3.3 典型灰度形态学算法

通过这些基本操作, 可以实现图像增强和特征提取:

- **形态学梯度 (Morphological Gradient)**:

$$g = (f \oplus b) - (f \ominus b)$$

利用膨胀和腐蚀的差值提取图像边缘, 能够增强区域间的灰度过渡。

- 顶帽变换 (Top-hat Transform):

$$T_{hat}(f) = f - (f \circ b)$$

用原图减去开运算结果。主要用于**提取暗背景上的亮物体**，在校正不均匀光照（阴影校正）方面非常有效。

- 底帽变换 (Bottom-hat Transform):

$$B_{hat}(f) = (f \bullet b) - f$$

用闭运算结果减去原图。主要用于**提取亮背景上的暗物体**。

9.4 第九章核心重点问题总结

1. 数学形态学 (Mathematical Morphology) 的基本思想是什么？

- 形态学不是基于像素值的算术运算，而是基于**集合论**的。其核心思想是利用一个具有特定形状的“探针”——**结构元 (Structuring Element)** 在图像中移动，通过检查结构元与图像之间的包含关系或相交关系，来提取图像的几何结构特征（如边界、骨架、孔洞等）。

2. 腐蚀 (Erosion) 与膨胀 (Dilation) 在二值图像处理中的视觉效果有何本质区别？

- **腐蚀**: 是一个“收缩”过程。它会消除图像中比结构元小的物体，削减物体的边界，并断开物体之间微弱的连接。
- **膨胀**: 是一个“增长”过程。它会填充物体内部的小孔洞，桥接物体间的微小间断，并增加物体的边界厚度。
- **对偶性**: 对前景的腐蚀等价于对背景的膨胀再取补集。

3. 开操作 (Opening) 与闭操作 (Closing) 的应用场景分别是什么？

- **开操作 (先腐蚀后膨胀)**: 主要用于**去除明亮的细小噪声**（如胡椒噪声）或平滑物体的外部轮廓，它能断开狭窄的连接而基本保持物体面积不变。
- **闭操作 (先膨胀后腐蚀)**: 主要用于**填充暗色的细小裂缝或物体内部的孔洞**，它能熔合狭窄的沟壑，平滑物体的内部轮廓。

4. 击中或击不中变换 (Hit-or-Miss Transform) 的判定标准是什么？击中或击不中变换是用于检测特定形状的工具。它要求两个条件同时满足：

- 结构元的前景部分 B_1 必须完全包含在图像的前景中（“击中”目标）；
- 结构元的背景部分 B_2 必须完全包含在图像的背景中（“击不中”目标）。
- 数学表示为： $A \circledast B = (A \ominus B_1) \cap (A^c \ominus B_2)$ 。

5. 在基本形态学算法中，如何利用腐蚀和膨胀提取图像边界？边界提取的核心在于利用腐蚀缩小物体。内边界提取公式为： $\beta(A) = A - (A \ominus B)$ 。即原图减去腐蚀后的图像，剩下的部分就是原图的最外层像素。结构元 B 的大小决定了边界的粗细。

6. 孔洞填充 (Region Filling) 算法中, 为什么要与原图的补集 A^c 取交集? 在迭代公式 $X_k = (X_{k-1} \oplus B) \cap A^c$ 中, 膨胀操作负责让种子点向四周扩散填充孔洞, 而与 A^c 取交集起到了掩模约束的作用。它确保填充过程只发生在背景区域 (即孔洞内部), 防止种子点的扩张越过原有的边界而“溢出”到整个图像。
7. 灰度级形态学 (Grayscale Morphology) 与二值形态学的主要运算差异是什么? 二值形态学的集合运算在灰度级形态学中演变为统计运算:
- 灰度腐蚀: 对应局部区域内的最小值运算, 效果是增强暗色区域, 抑制亮细节。
 - 灰度膨胀: 对应局部区域内的最大值运算, 效果是增强亮区域, 抑制暗细节。
8. 顶帽变换 (Top-hat) 与底帽变换 (Bottom-hat) 在实际工程中有什么用途?
- 顶帽变换 ($f - f \circ b$): 用于提取暗背景上的亮物体, 最关键的用途是校正不均匀光照的影响。通过减去开运算得到的背景估计, 可以使背景趋于均匀。
 - 底帽变换 ($f \bullet b - f$): 用于提取亮背景上的暗物体。